

## PECVD법에 의한 다성분 Fe-O계 박막 제조

이은태, 김범진, 장건익

충북대학교 재료공학과

### 1. 서론

최근 고도의 산업화와 더불어 가연성 가스는 열효율이 좋고 깨끗하여 산업용과 가정용으로 많이 사용되고 있다. 그러나 이 가스들은 인체에 해롭고 폭발시 대형사고를 일으키므로 이에 대한 대비책이 요구되고 있다. 따라서 가스센서에 대한 관한 연구는 많은 연구가들에 의해 상당히 활발하게 진행되고 있다. 박막형 가스센서 재료로는 SnO<sub>2</sub>계, ZnO계, WO<sub>3</sub>계 그리고 Fe<sub>2</sub>O<sub>3</sub>계 등 많이 연구되고 있다.<sup>[1~4]</sup> 이중에서 Fe<sub>2</sub>O<sub>3</sub>계를 가스센서로 이용할 경우 측매이온 없이도 N-type반도체로써 흰원성가스의 감지에 유리한 특성을 지니고 있다고 알려져 있다.<sup>[5,6]</sup> Fe-O계는 FeO, Fe<sub>3</sub>O<sub>4</sub>, 그리고 Fe<sub>2</sub>O<sub>3</sub>의 세 가지 상으로 존재한다고 알려져 있으며, Fe<sub>2</sub>O<sub>3</sub>은 다시  $\gamma$ -Fe<sub>2</sub>O<sub>3</sub>상과  $\alpha$ -Fe<sub>2</sub>O<sub>3</sub>의 두 가지 전형적인 상으로 구성되어 있다.  $\gamma$ -Fe<sub>2</sub>O<sub>3</sub>상은  $\alpha$ -Fe<sub>2</sub>O<sub>3</sub>과 Fe<sub>3</sub>O<sub>4</sub>상의 준 안정상으로 in-situ로 제작이 어렵고, Fe<sub>3</sub>O<sub>4</sub>상을 산화시키는 과정이 필요하다.<sup>[7]</sup>

본 연구에서는 센서용 박막제조를 위해 PECVD 법으로 균일성과 재현성이 뛰어나고 다공성조직을 갖는 Fe-O 산화물계 박막을 제조하였으며, 증착법에 의한 박막의 특성 및 박막의 상전이 거동을 조사하였다.

### 2. 실험 방법

본 실험에 사용한 PECVD 장치개략도는 Fig. 1에 나타내었다

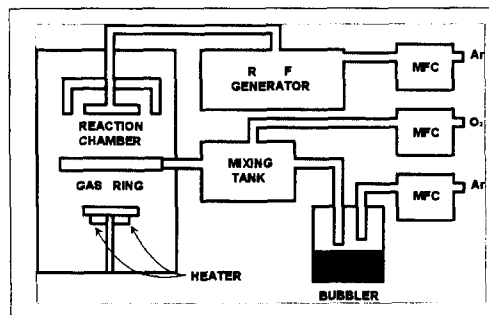


Fig. 1. Schematic diagram of PECVD system

기판은 Al<sub>2</sub>O<sub>3</sub>를 사용하였고, methanol로 20분 초음파세척 후 chamber내에 장입되었다. 장입된 기판은 Ar + N<sub>2</sub>로 20분간 purging후 기판과 박막사이의 부착력 및 세정을 위하여 Ar 기체만으로 플라즈마를 20분간 유지한 후 기판을 가열하였다. 실험에서 박막의 전구체로서 Fe(CO)<sub>5</sub>를 사용하였고, carrier gas로는 Ar 가스를 사용하여 전구체를 bubbling하여 O<sub>2</sub>와 mixing tank에서 반응을 일으킨 후 chamber내로 유입시켰다. 각각의 gas 유량은 MFC(mass flow controller)로 조절하였고, 플라즈마를 발생시켜 플라즈마 안정화시간 1~2분 후 in-situ로  $\alpha$ -Fe<sub>2</sub>O<sub>3</sub> 및 Fe<sub>3</sub>O<sub>4</sub> 박막을 제조하였고, 증착된 Fe<sub>3</sub>O<sub>4</sub>박막을 산화하여  $\gamma$ -Fe<sub>2</sub>O<sub>3</sub>박막을 제조하였다.

제조된 박막은 XRD (X-ray Diffraction), SEM( Scanning Electron Microscopy), AFM(Atomic Force Microscopy), AES(Auger Electron spectroscopy)로 특성을 조사하였다.

### 3. 결과 및 고찰

#### 3-1. 증착한 박막의 상변화

산소의 첨가로 제작한 박막의 XRD회절 패턴은 Fig. 2에 나타내었다. 증착온도가 80~120°C에서는  $\alpha\text{-Fe}_2\text{O}_3$  phase 가장 잘 형성되었고, 온도가 증가할수록 intensity가 감소하기 시작하였다.

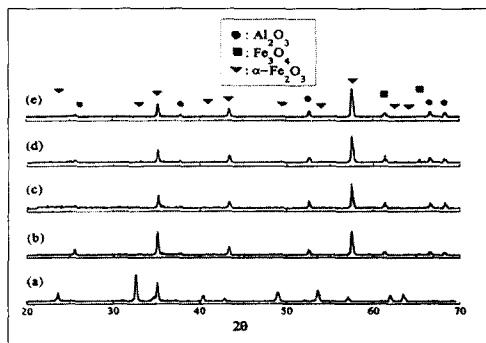


Fig. 2. X-ray Diffraction pattern of thin film at various deposition temperature  
 (a)80, (b)120, (c)150, (d)250, (e) 350°C

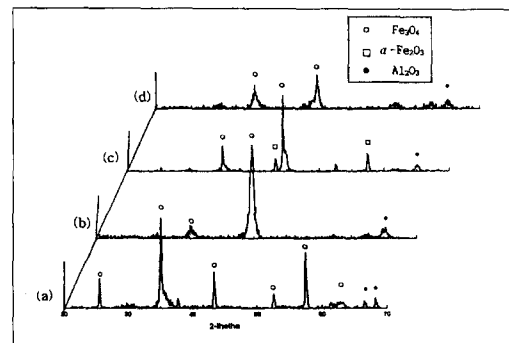


Fig. 3. X-ray diffraction pattern of  $\text{Fe}_3\text{O}_4$  deposition temperature  
 (a)150°C (b)250°C (c)350°C (d)400°C

Fig 3은 산소의 첨가없이 제작한 박막의 XRD 회절 패턴이다. 250~400°C의 온도범위에서는 XRD 피크 강도가 줄어들고, 상대적으로 결정성이 부족하여  $\text{Fe}_3\text{O}_4$ 가 국부적인 규칙배열을 갖는 비정질 상태로 존재한다고 볼 수 있었다. 따라서 200~400°C의 온도부근은  $\text{Fe}_3\text{O}_4$ 가 결정화되기에는 높은 온도고 판단된다. 150°C에서  $\text{Fe}_3\text{O}_4$ 상의 XRD 피크가 비교적 강하게 발달되었음을 알 수 있었다.

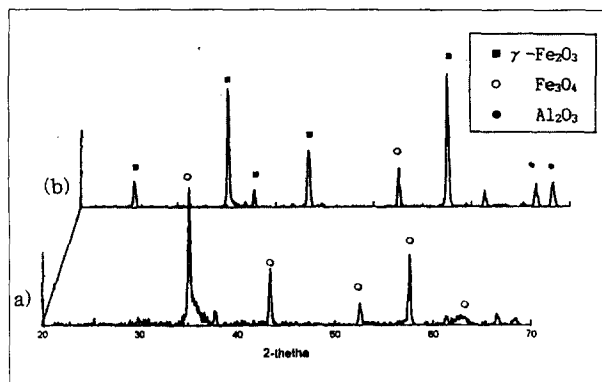


Fig. 4. X-ray diffraction patterns showing the phase transition from  $\text{Fe}_3\text{O}_4$  to  $\gamma\text{-Fe}_2\text{O}_3$  through oxidation process : (a)  $\text{Fe}_3\text{O}_4$  phase (b) oxidation phase ( $\gamma\text{-Fe}_2\text{O}_3$ )

Fig 4.는  $\text{Fe}_3\text{O}_4$ 상을 산화과정을 통해  $\gamma\text{-Fe}_2\text{O}_3$ 상으로 상변화를 시킨 XRD pattern이다. Fig 3에서  $\gamma\text{-Fe}_2\text{O}_3$ 상과  $\text{Fe}_3\text{O}_4$ 상은 공존상형태로 존재함을 보여주고 있다. 이는  $\gamma\text{-Fe}_2\text{O}_3$ 상은  $\alpha\text{-Fe}_2\text{O}_3$ 상과  $\text{Fe}_3\text{O}_4$ 상의 중간상으로 준 안정하기 때문이라 보여진다.

### 3-2. 박막 표면의 Morphology

Fig 5.는 증착된 박막의 AFM(Atomic Force Microscopy)이다.

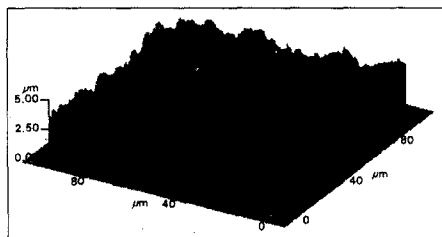


Fig5. The image of AFM

## 4. 결론

1.  $\text{Fe}_3\text{O}_4$ 상을 얻기 위한 적절한 증착 온도구간은 약  $150^\circ\text{C}$ 이고,  $250\sim400^\circ\text{C}$ 의 온도구간에서는 결정화가 감소되거나  $\alpha\text{-}\text{Fe}_2\text{O}_3$ 상이 형성되었다.
2. 산소의 첨가로 증착한  $\alpha\text{-}\text{Fe}_2\text{O}_3$ 상은 증착온도가  $80\sim120^\circ\text{C}$ 에서 안정했으며,  $\text{Fe}_3\text{O}_4$ 상은  $120^\circ\text{C}$ 에서부터 생성되기 시작하였다.
3.  $\text{Fe}_3\text{O}_4$ 상은  $280\sim300^\circ\text{C}$ 의 온도범위에서 산화과정에 의해  $\gamma\text{-}\text{Fe}_2\text{O}_3$ 상으로 상변화를 일으킨다는 것을 알 수 있었다.
4.  $\gamma\text{-}\text{Fe}_2\text{O}_3$ 상은 준안정상으로  $\text{Fe}_3\text{O}_4$ 상과 공존상의 형태로 존재한다는 사실을 얻을 수 있었다.
5. 증착변수중에 플라즈마 RF power에 따라 다공성조직 및 치밀한 조직을 얻을 수 있었으며, RF power가 100W일 때 가스센서로 적합한 다공성조직을 보였다.
6. AES 측정결과 증착된 박막은 Fe와 O성분 이외에 다른 성분은 존재하지 않음을 알 수 있었다.

## 5. Reference

1. T. Mae, Kawa, J. Tamaki, N. Miura and N. Yamazoe, Sensors and Actuators B, 9 (1992) 63
2. V. Demarne and A. Grisel, Sensors and Actuators B, 1 (1990) 87
3. C. Ying, Q. X. Xing and Y. K. Nin. Proc. Int. Conf. on Electronic
4. Y. Nakamura et. al., "Selective Co Gas Sensing Mechanism with CuO/ZnO heterocontact", J. Electrochem. Soc, Vol. 137, No. 3, P.190, 1990
5. J. Peng and C. C. Chai, A study of The Sensing Characteristics of  $\text{Fe}_2\text{O}_3$  Gas-Sensing Film, Sensors and Actuators B, 13-14 (1993) 591-593
6. Kazshiro. Hara and Noriyuki. Nishida, H<sub>2</sub> Sensor Using  $\text{Fe}_2\text{O}_3$  Based Thin Film, Sensors and Actuators B, 201 (1994) 181-186
7. YoshichikaBando, Shingeo Horii and Toshio Takata, Reactive Condensation and Magnetic Properties of Iron Oxide Films, Japanes J. of Apply. Phyics. Vol. 17, No. 6, June(1978) 1037-1042